

論文 CaSO₄ と C との共存下における軟鋼, 16Cr 鋼, Ni および Ni-20Cr 合金の高温腐食

森 本 一 史*・大 林 幹 男**

High Temperature Corrosion of Mild Steel, 16%Cr Steel, Nickel and Ni-20%Cr Alloy in the Presence of Calcium Sulfate and Carbon

Kazufumi MORIMOTO and Mikio ŌBAYASHI

Synopsis :

Ash deposits, especially alkali and alkaline earth sulfates, have been said to be an important source of the hot corrosion of valves and pre-combustion chambers in automobile diesel engines.

In the present work, to clarify the corrosion behavior, crucible-type corrosion tests by CaSO₄-C mixtures have been carried out on pure nickel, iron and their Cr-containing alloys in the temperature range from 650° to 1100°C for 4 h in air.

The results obtained from gravimetric measurements and metallographic examination are summarized as follows :

1) The CaSO₄ alone is not corrosive for above metals and alloys, however the addition of C causes very severe attack, especially on Ni-20% Cr alloy.

2) On Ni and Ni-20% Cr alloy the temperature dependence of the corrosion caused by CaSO₄-20% C mixture is different from that of well-known SO₂ gas corrosion; nickel shows a monotonic increase in weight loss with temperature and Ni-20% Cr alloy shows a maximum at about 875°C.

3) In the corrosion scale, the sulfides and the oxides of each element in alloys are recognized; this scale morphology is characteristic of the sulfidation-accelerated oxidation.

1. 緒 言

ディーゼルエンジンでは、潤滑油中に添加されているアルカリ土類金属が、燃料中のSと反応して、CaSO₄などの硫酸塩として排気弁や予燃焼室に堆積し、腐食を引き起こすと言われている¹⁾²⁾。

このようなCaSO₄が関与する高温腐食については、これまでに天然ガス燃焼エンジン用排気弁の損傷例³⁾のほか、石炭の流動床炉で、脱硫のために添加されたCaOがCaSO₄に変化して、腐食の原因になることが報告されているに過ぎない。したがつて、古くからガスターインで問題になつていて、Na₂SO₄による腐食⁵⁾と比較して、その腐食の実態や機構については、まだ十分解明されていない。

一方、ディーゼルエンジン用の排気弁材料の耐食性を評価するために、実験室的な試験法として、CaSO₄, BaSO₄, Na₂SO₄およびCとからなる合成腐食剤によるるつぼ試験が提案されている⁶⁾。しかし、これまでの報告では、代表的な材料の腐食減量を比較評価しているだけ

で、腐食機構についての詳細な検討はなされていない。

以上のような背景から、著者らは、この種の高温腐食の挙動を把握することは、ディーゼルエンジンにおける耐熱部材、特に排気弁や予燃焼室の材質を選択・開発する上で重要な課題であると考え、実機の実態調査と、CaSO₄による腐食実験を行つて、現象の解析を試みた。

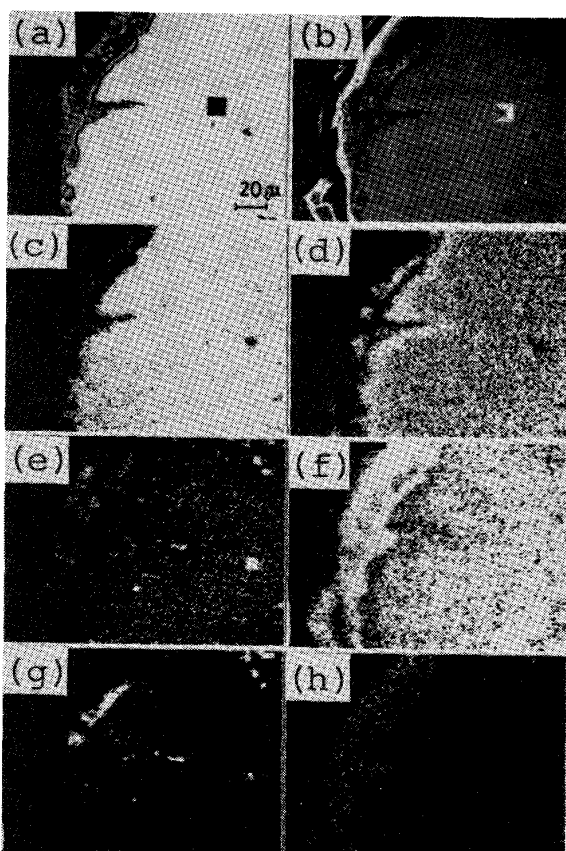
2. 試料および実験方法

供試材には、市販の軟鋼(SS 41), Fe-16%Cr 鋼(SUS 430), 純ニッケル(99.7%), およびNi-20%Cr合金(NCH-1)を用いた。腐食試験片は9 mm φ × 15 mm のものを、それぞれ10 mm φ の鍛造棒から機械加工により採取した。この試験片をリグロインで脱脂し、乾燥した後、秤量してから腐食試験に供した。腐食剤の各硫酸塩は試薬1級を、またCはグラファイトを用いて、種々の配合比に秤量、混合して合成腐食剤とした。試験片は10 gの合成腐食剤と共に高純度アルミナるつぼ中に入れ、あらかじめ所定の温度に保持した炉中に装入した。加熱は、650°Cから1100°Cまでの大気中で

昭和58年1月18日受付(Received Jan. 18, 1983)

* (株)豊田中央研究所 (Toyota Central Research and Development Laboratories Inc., Aza-Yokomichi Oaza-Nagakute Nagakute-cho Aichi-gun 480-11)

** (株)豊田中央研究所 工博 (Toyota Central Research and Development Laboratories Inc.)



(a) Optical microstructure, (b) Secondary electron image, and X-ray images for (c) Fe, (d) Ni, (e) Mn, (f) Cr, (g) S, and (h) O.

Photo. 1. Cross-sectional view of a scale formed on the pre-combustion chamber jet made of heat-resistance casting steel (JIS SCH 21) after long time bench test of automobile diesel engine.

行つた。腐食試験後, 40%NaOH-60%Na₂CO₃ 溶融塩で試験片の電解脱スケール処理をしてから、再び秤量して、試験前後の重量差から腐食減量を求めた。また、一部の試料では、光学顕微鏡と EPMA を用いて、腐食層の形態や元素分布を観察し、さらにX線によつて腐食生成物の物質同定を行つた。

3. 実験結果および考察

3.1 実機の実態調査

Photo. 1 および Fig. 1 は、ディーゼルエンジンのベンチテスト後、JIS SCH 21 製の予燃焼室噴口部に見られた腐食部の組織と、EPMA による元素分析結果を示す。Cr の酸化物を主体とするスケール中に S が富化しており、明らかに酸化と硫化の複合腐食が発生していることが分かる。燃焼堆積物をX線回折により同定した結果、CaSO₄ と無定形カーボンが主体であり、Kocis ら⁶ が合成腐食剤に使用している BaSO₄ や Na₂SO₄ は検出されなかった。このことから、エンジンの使用環境や

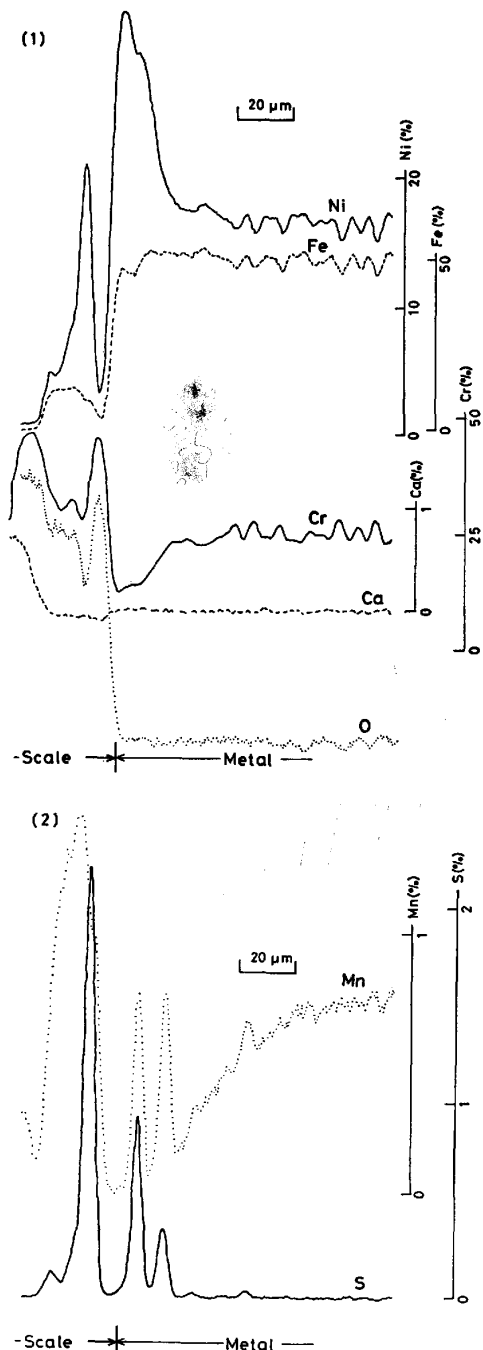


Fig. 1. Concentration profiles through the scale shown in Photo. 1 by EPMA.

潤滑油などの違いによつて、燃焼堆積物の成分は異なるけれども、CaSO₄がその主要成分の一つであることが明らかになつた。

3.2 合成腐食剤の組成の影響

CaSO₄, BaSO₄, および Na₂SO₄ から成る 15 種類の合成腐食剤を用いて、900°C で 4 h の腐食試験を行つた。さらに C の影響を調べるために、それらの各腐食剤に C を 5% 添加して、同様の試験を行つた。Ni および Ni-20%Cr 合金の結果を、それぞれ Fig. 2, 3 に示

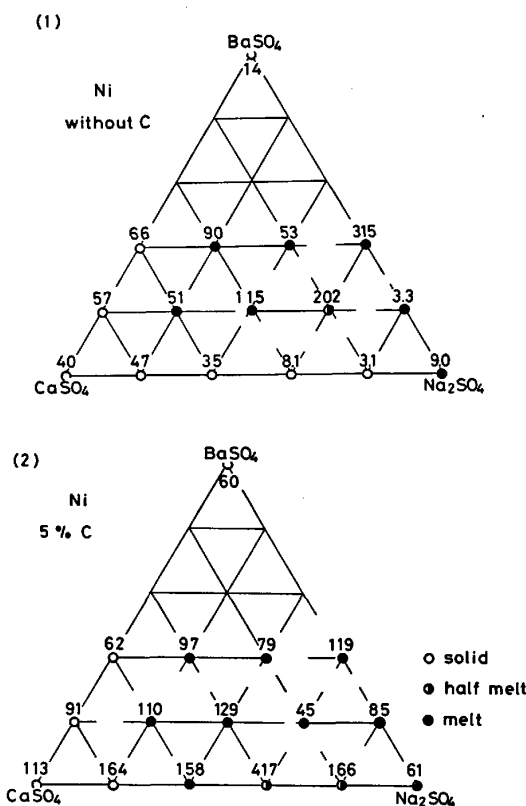


Fig. 2. Weight loss (mg/cm^2) of Ni corroded by CaSO_4 - BaSO_4 - Na_2SO_4 ash mixtures at 900°C for 4h in air.

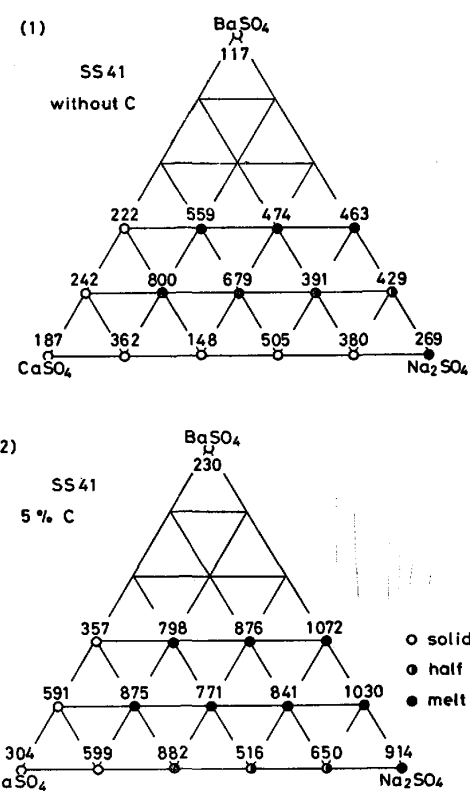


Fig. 4. Weight loss (mg/cm^2) of mild steel(SS41) corroded by CaSO_4 - BaSO_4 - Na_2SO_4 ash mixtures at 900°C for 4h in air.

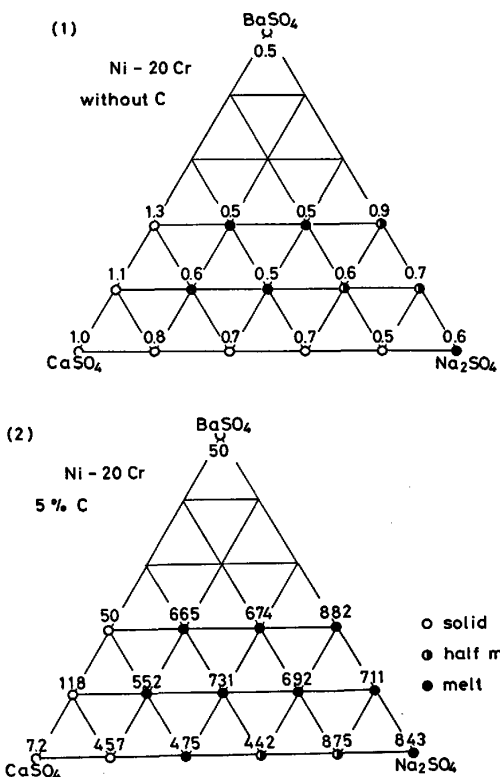


Fig. 3. Weight loss (mg/cm^2) of Ni-20% Cr alloy corroded by CaSO_4 - BaSO_4 - Na_2SO_4 ash mixtures at 900°C for 4h in air.

す。図中に併記した試験後の腐食剤の性状から明らかのように、Cが添加された腐食剤では、無添加の時に比較して、 900°C で溶融する組成範囲が低BaSO₄側にまで拡張している。腐食剤の組成と腐食減量との関係を見てみると、Niの場合、C無添加では高BaSO₄側で、かつ高Na₂SO₄側に激しく腐食する領域があるが、Cが添加されると、その領域は高CaSO₄側へ移行している。一方、Ni-20%Cr合金では、C無添加の時には、ほぼ全領域にわたって腐食減量がきわめて小さく、特に腐食剤が溶融している組成範囲内では、ほとんど減量が認められなかつた。しかし、Cが添加されると、Ni-20%Cr合金は、逆に腐食剤の組成が溶融組成範囲内にある方が、激しく腐食されることが分かる。

次に、軟鋼およびFe-16%Cr鋼の結果をFig. 4, 5に示す。軟鋼は、もともと耐食性が劣るため、ほぼ全領域にわたって腐食減量が大きいが、Cが添加されると更に加速されることが分かる。また、Fe-16%Cr鋼では、C添加の有無にかかわらず、腐食減量は全般に小さく、腐食剤の組成の影響もほとんど認められない。

以上の実験結果で、Ni-20%Cr合金とFe-16%Cr鋼の結果を比較することによって、耐食性に及ぼすCrの挙動がNi系とFe系とでは異なることが示唆された。

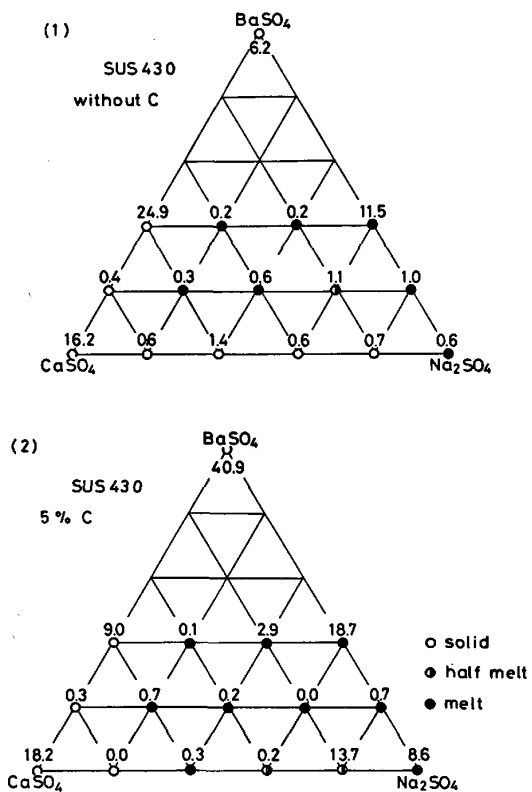


Fig. 5. Weight loss (mg/cm^2) of Fe-16% Cr steel (SUS 430) corroded by CaSO_4 - BaSO_4 - Na_2SO_4 ash mixtures at 900°C for 4h in air.

またCは、混合硫酸塩の溶融組成範囲を拡大し、腐食を促進する作用を有することが明らかとなつた。

そこで、このCの挙動をより詳細に検討するために、3.1の実態調査で検出された主成分のCaSO₄に着目して、腐食減量に及ぼすC添加量の影響を調べた。その結果をNi系、Fe系それぞれについて、Fig. 6, 7に示す。Ni-20%Cr合金の耐食性がNiよりも優れているのは、腐食剤中のC量が約13%までで、それ以上になると、逆にNi-20%Cr合金の方が劣ることが分かる。また、NiではC量が5~25%の範囲において、腐食減量は約120 mg/cm^2 とほぼ一定値を示し、C添加量に依存しないことが示された。VASANTASREEら⁷⁾の研究によれば、NiおよびNi-20%Cr合金の、 900°C のSO₂-O₂雰囲気中における腐食速度は、純SO₂中や高SO₂/O₂(12:1)、あるいは低SO₂/O₂(1:9)ガス雰囲気中のいずれの場合にも、Niの方が約10倍以上もNi-Cr合金より大きい。したがって、CaSO₄-Cにおける上記の腐食現象は、公知のSO₂-O₂ガスによる腐食とは異なる機構によるものと考えられる。

一方、軟鋼とFe-16%Cr鋼とを比較すると(Fig. 7)、Fe-16%Cr鋼の腐食減量はC量と共に徐々に増加するが、常に軟鋼に比べて小さく、前述のNi-20%Cr合

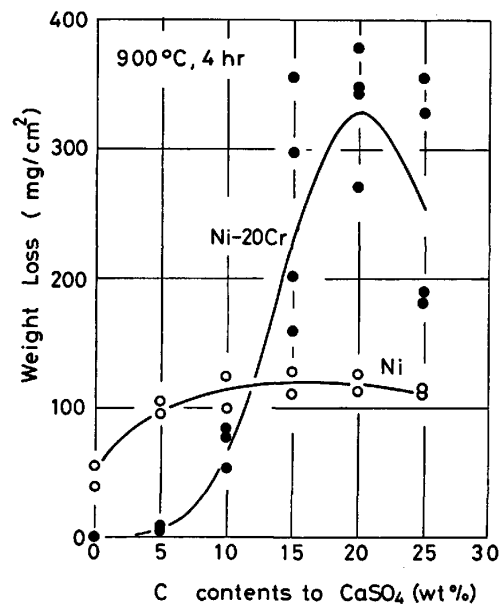


Fig. 6. Effect of C content on the weight loss of Ni-20% Cr alloy corroded by CaSO_4 -C mixtures at 900°C for 4h in air.

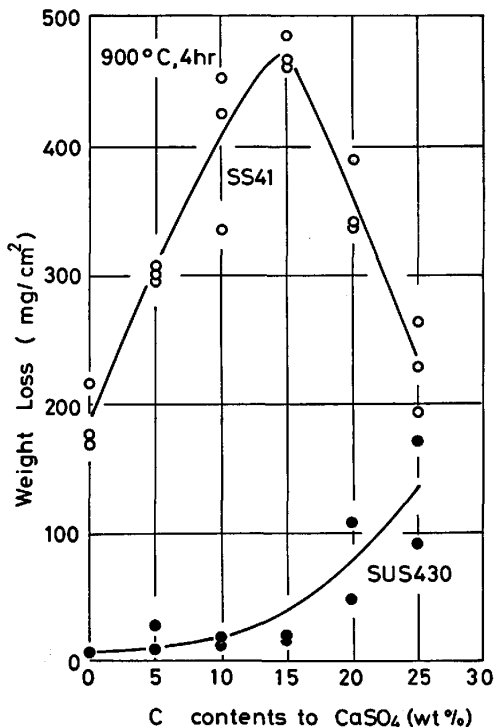


Fig. 7. Effect of C content on the weight loss of mild steel (SS 41) and Fe-16% Cr steel (SUS 430) corroded by CaSO_4 -C mixtures at 900°C for 4h in air.

金と違つて、Crが耐食性向上元素として有効であることが明らかとなつた。

3.3 試験温度の影響

Fig. 8, 9は、NiおよびNi-20%Cr合金の、CaSO₄による腐食減量の温度依存性を示す。CaSO₄にCを添加

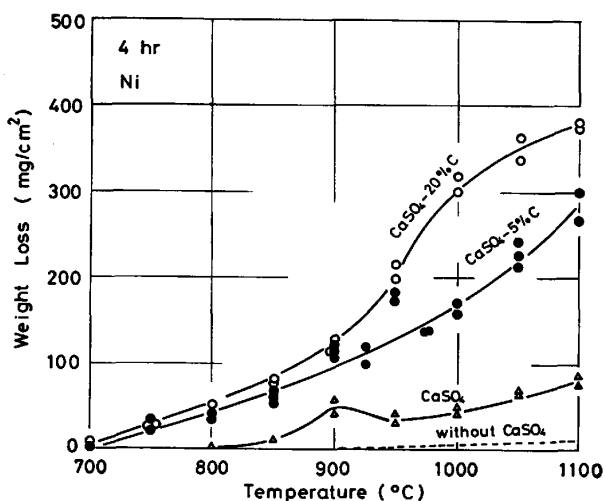


Fig. 8. Effect of temperature on the weight loss of Ni exposed to air and corroded by CaSO₄-C mixtures for 4h in air.

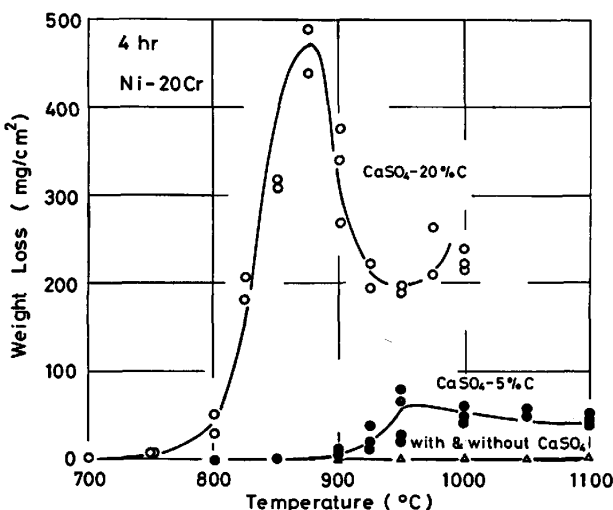


Fig. 9. Effect of temperature on the weight loss of Ni-20% Cr alloy corroded by CaSO₄-C mixtures for 4h in air.

した場合と、腐食剤なしで単に大気中酸化させた場合の結果も、同図に併記した。Niでは、大気中酸化が最小で、CaSO₄中、さらにCaSO₄-5%C中、CaSO₄-20%C中の順に腐食が促進されるが、いずれの場合も腐食減量は温度と共に、ほぼ単調に増加することが分かる。一方、Ni-20%Cr合金では、腐食促進の序列はNiの場合と同じであるが、腐食減量は、Cを20%含む場合を除いて、全般に小さい。また、5%Cでは950°C近辺に、20%Cでは約875°Cで、それぞれ腐食減量が極大値を示すことが明らかとなつた。このことは、腐食剤中のC量によって、腐食機構、または腐食進行過程が異なることを示唆している。一般にSO₂を含む雰囲気中における、NiおよびNi-Cr合金の腐食速度は両者とも700

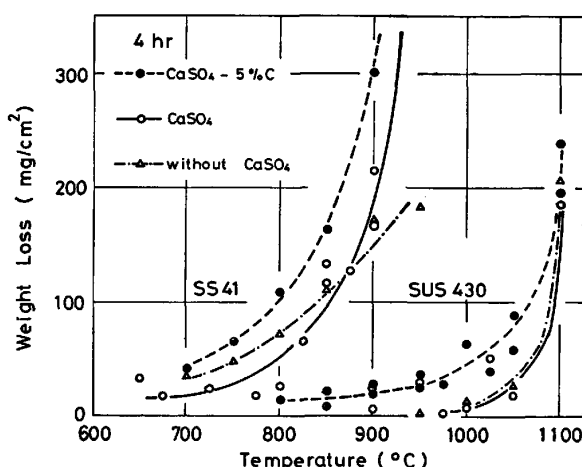


Fig. 10. Effect of temperature on the weight loss of mild steel (SS 41) and Fe-16% Cr steel (SUS 430) exposed to air and corroded by CaSO₄-C mixtures for 4h in air.

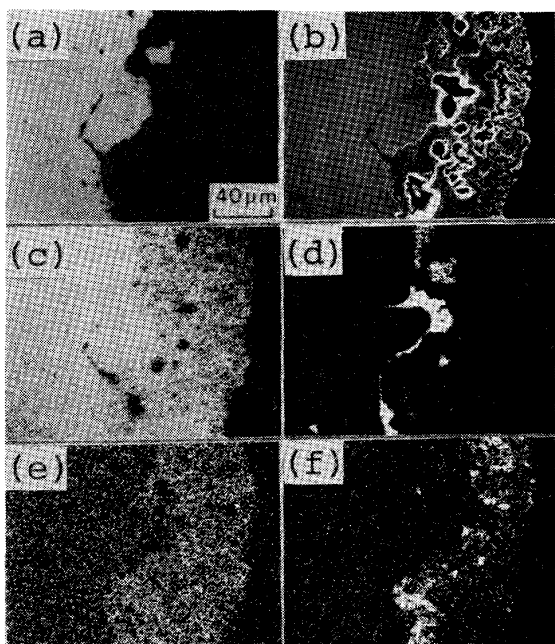
~800°Cにおいて極大値を示し^{7,9)}、またその値は、Niの方がNi-Cr合金よりも著しく大きいことが知られている^{7,10)}。これに対して、CaSO₄-20%Cによる腐食においては、Niの腐食量は温度と共に単調な増加を示し、顕著な極大値を持つことはなかつた。また、Ni-Cr合金は、SO₂ガス腐食の場合よりも高温の、約875°Cで極大値を持つという特異性を示した。このことは、やはり3.2の結果と同様に、CaSO₄-Cによる腐食現象が既知のSO₂ガスによる腐食とは異なつた機構によるこことを示唆している。

次に、軟鋼およびFe-16%Cr鋼の結果をFig. 10に示す。両鋼とも、NiやNi-20%Cr合金の場合と違つて、腐食剤間の差異は非常に小さく、温度と共に腐食減量は単調に増加している。Fig. 7で認められた両鋼種間の腐食性の差は、腐食減量の急増し始める温度の違いとして、より顕著に現れている。

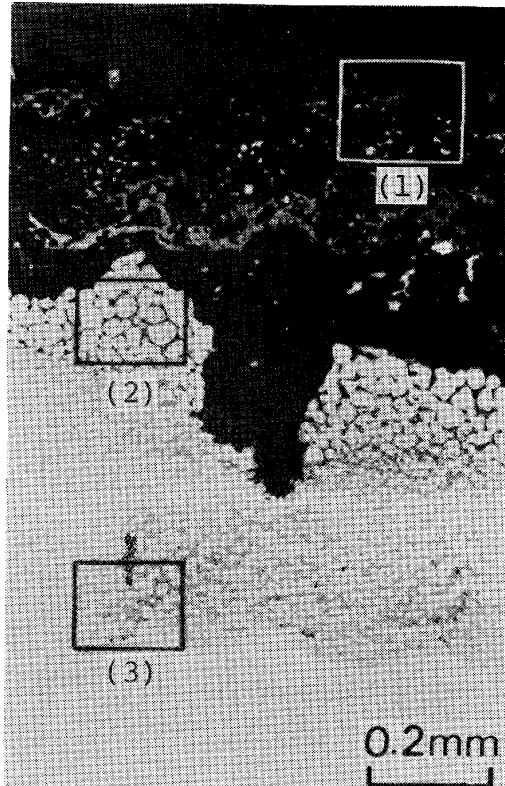
3.4 腐食層の観察と、腐食生成物の同定

CaSO₄-5%Cの腐食剤で、900°C、4h腐食したNi試験片断面の顕微鏡組織と、EPMAによる面分析の結果をPhoto. 2に示す。Sが酸化物層と母材との間に濃縮しており、かつ粒界に沿つて、母材の内部にまで侵入しているのが分かる。この腐食生成物は、X線回折の結果、Ni₃S₂とNiOとからなつてることが明らかとなつた。

CaSO₄-20%Cで、875°C、2h腐食したNi-20%Cr合金の顕微鏡組織をPhoto. 3に、EPMAによる面分析の結果をPhoto. 4に示す。腐食層は、厚さ350μの外部スケールと、深さ約600μの内部腐食層とから成り立つている。スケールの最外部には、ほぼ一様に多



(a) Optical microstructure, (b) Secondary electron image, and X-ray images for (c) Ni, (d) S, (e) O, and (f) Ca.
Photo. 2. Cross-sectional view of a scale formed on Ni corroded by CaSO₄-5%C at 900°C for 4h in air.



(1) Outer part of corroded layer.
(2) Intermediate part of corroded layer.
(3) Inner part of corroded layer.

Photo. 3. Cross-sectional view of a scale formed on Ni-20% Cr alloy corroded by CaSO₄-20%C at 875°C for 2h in air.

孔質の Cr 酸化物層が、またその直下には、Cr 酸化物、Ni 酸化物および Ni 硫化物が混在していることが分かる。内部腐食層は、外部スケールに近い所では高 Ni の金属粒が主体で各粒の間隙に Ni 硫化物と Cr 硫化物が網目状に分布している。また、健全な母材との境界の近傍では、硫化物の大部分は Cr 硫化物であるが、少量の Ni 硫化物も散在しているのが認められる。これらの酸化物や硫化物は、X線回折、および EPMA による線分析の結果から、それぞれ NiO, Cr₂O₃, Ni₃S₂, および (Cr, Ni)₃S₄ であることが確認された。以上のような Ni-Cr 合金の腐食組織や腐食生成物は、SPENGLER ら¹¹⁾¹²⁾ によつて報告されている N₂-SO₂ ガス腐食の場合に比べて、中間層が厚いが、その外は類似しているようと思われる。

次に、CaSO₄により、900°C, 4 h 腐食させた軟鋼の顕微鏡組織を Photo. 5 に示す。腐食層は多孔質で、厚さも約 1.2 mm と非常に厚くなっている。最外層は Fe の酸化物が主体であるが、それらは X 線回折の結果、Fe₃O₄, α-Fe₂O₃, および Ca を含む CaFe₂O₄ とから成り立つていることが確認された。また、スケールの中間層や母材に近い内部腐食層では、Fe の酸化物 FeO と硫化物 FeS とが層状に混在している。

CaSO₄-5%C により、1050°C, 4 h 腐食した Fe-16%Cr 鋼の顕微鏡組織と、EPMA による線分析の結果を、それぞれ Photo. 6 と Fig. 11 に示す。腐食層は、母材に近い側から内部硫化層、中間層、および外層の 3 つに区分される。内部硫化層では、Fe 硫化物を主体にして、Cr の硫化物も共存している。中間層では、Cr に富んだ Cr-Fe 複合酸化物が、また外層では、Fe の酸化物が主成分である。

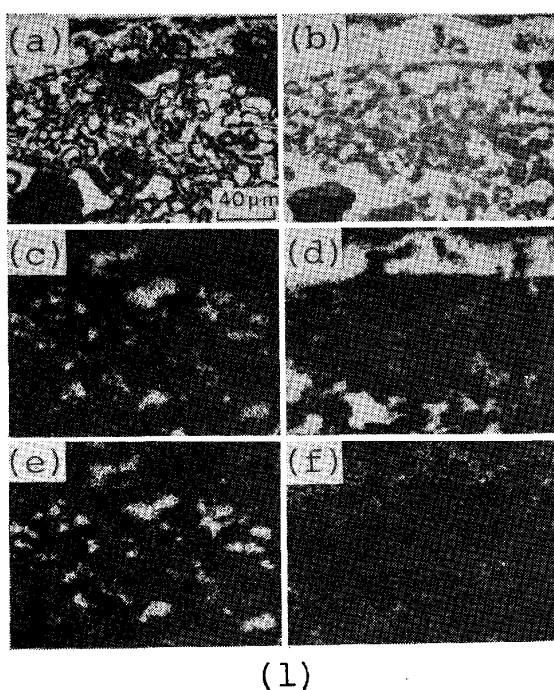
4. 結 言

Ni, Ni-20%Cr 合金、軟鋼および Fe-16%Cr 鋼の CaSO₄による高温腐食の実態を、腐食減量と腐食組織とから検討した。主たる結果は以下のようである。

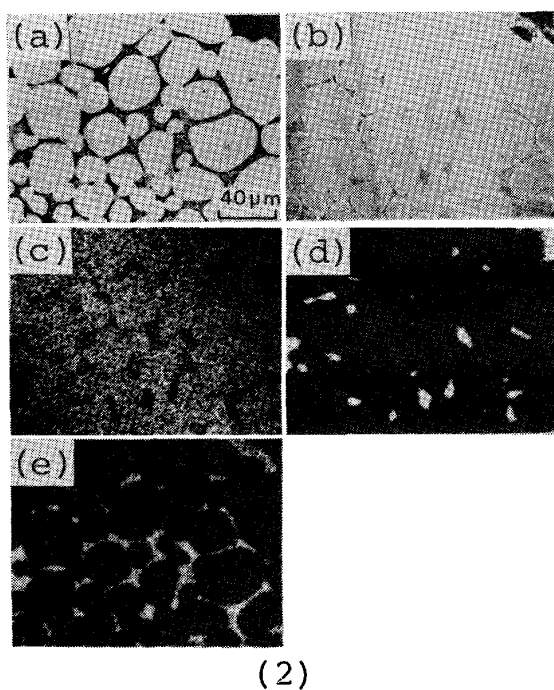
(1) CaSO₄は、それ自体の腐食作用はいずれの合金に対しても小さいが、Cが共存すると激しい腐食作用を示す。その影響は、特に Ni-20%Cr 合金において顕著である。

(2) CaSO₄-20%C による、Ni および Ni-Cr 合金の高温腐食の温度依存性は、既知の SO₂ ガス腐食の場合と異なる。すなわち、Ni-Cr 合金では、腐食減量は約 875°C という高い温度で極大値をとり、また Ni では、温度と共に単調に増加する傾向を示した。

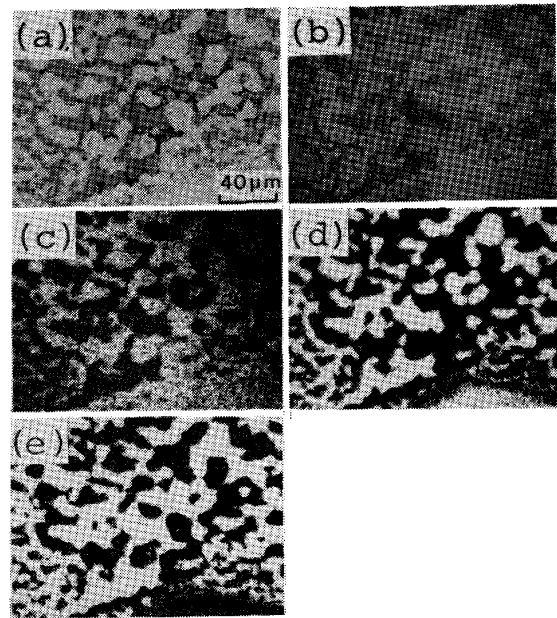
(3) 腐食層中には、いずれの合金の場合も、酸化物



(1)



(2)



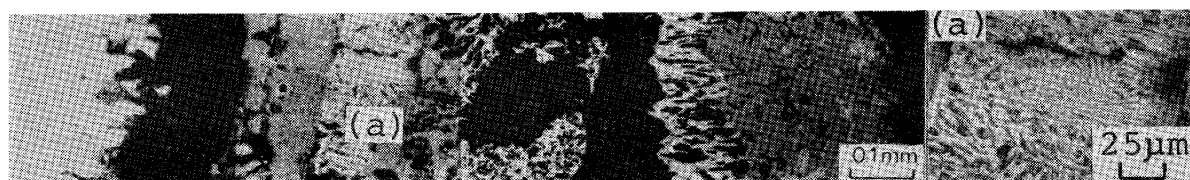
(3)

(1) Outer part of corroded layer.

(2) Intermediate part of corroded layer.

(3) Inner part of corroded layer.

(a) Optical microstructure, (b) Secondary electron image, and X-ray images for (c) Ni, (d) Cr, (e) S, and (f) O.

Photo. 4. Cross-sectional view of a scale formed on Ni-20% Cr alloy corroded by CaSO_4 -20% C at 875°C for 2h in air.Photo. 5. Cross-sectional view of a scale formed on mild steel(SS 41) corroded by CaSO_4 at 900°C for 4h in air.

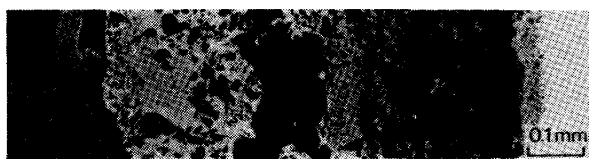


Photo. 6. Cross-sectional view of a scale formed on Fe-16% Cr steel (SUS 430) corroded by CaSO₄-5% C at 1050°C for 4h in air.

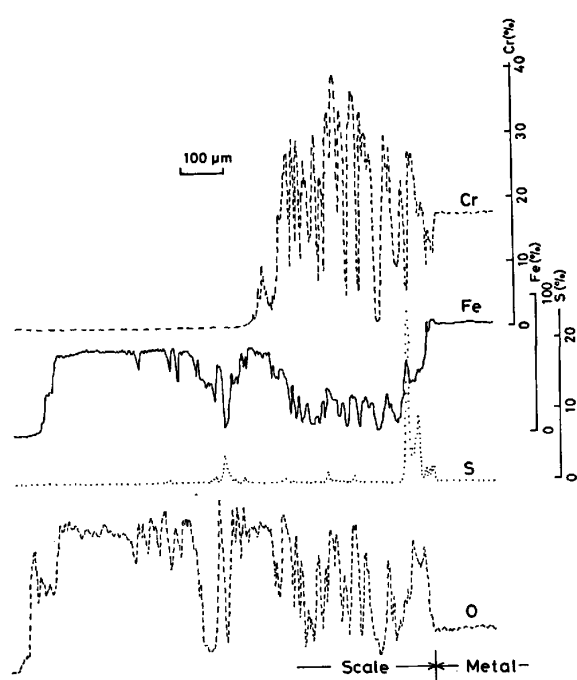


Fig. 11. Concentration profiles through the scale shown in Photo. 6 by EPMA.

と硫化物の存在が認められ、明らかに酸化と硫化の複合腐食の様相を示していた。

終わりに本研究の発表を許可された豊田中央研究所所長 小松 登博士、および取締役 上垣外修己博士に深く感謝いたします。また研究の遂行に当たり、種々御協力いただいた当所物性計測グループの方々に感謝の意を表します。

文 献

- 1) A. CHAUDHURI: SAE Trans., 82 (1973), p. 2478
- 2) J. F. KOCIS and W. M. MATLOCK: Z. Werkstofftech., 9 (1978) 4, p. 132
- 3) G. C. CLARK: SAE Trans., 84 (1975), p. 270
- 4) たとえば J. STRINGER: Ash Deposits and Corrosion due to Impurities in Combustion Gases, ed. by R. W. BRYERS (1978), p. 589 [Hemisphere Publishing Corporation]
- Electric Power Research Institute: Materials Problems in Fluidized-Bed Combustion Systems, EPRI CS-1499 (1980)
- 5) たとえば、川上正博、後藤和弘、ロバート・A・ラップ、梶山文夫: 鉄と鋼, 65 (1979), p. 811
Deposition and Corrosion in Gas Turbines, ed. by A. B. HART and A. J. B. CUTLER (1973)
[Applied Science Publishers Ltd.]
- 6) J. F. KOCIS and W. M. MATLOCK: Metal Progress, 108 (1975) 3, p. 58
- 7) V. VASANTASREE and M. G. HOCKING: Corros. Sci., 16 (1976), p. 261
- 8) 中井 弘、高沢寿佳: 日本金属学会誌, 40 (1976), p. 466
- 9) P. KOFSTAD and G. ÅKESSON: Oxid. Met., 12 (1978), p. 503
- 10) M. R. WOOTTON and N. BIRKS: Corros. Sci., 15 (1975), p. 1
- 11) R. VISWANATHAN and C. J. SPENGLER: Corrosion, 26 (1970), p. 29
- 12) C. J. SPENGLER and R. VISWANATHAN: Metall. Trans., 3 (1972), p. 161